



(12) 发明专利

(10) 授权公告号 CN 116112745 B

(45) 授权公告日 2023.06.23

(21) 申请号 202310361283.1

(22) 申请日 2023.04.07

(65) 同一申请的已公布的文献号
申请公布号 CN 116112745 A

(43) 申请公布日 2023.05.12

(73) 专利权人 环球数科集团有限公司
地址 518063 广东省深圳市南山区粤海街
道高新南九道10号深圳湾科技生态园
10栋B座17层01-03号

(72) 发明人 张卫平 丁焯 吴茜 王丹 向荣

(74) 专利代理机构 北京清控智云知识产权代理
事务所(特殊普通合伙)
11919

专利代理师 马肃

(51) Int.Cl.

H04N 21/44 (2011.01)

G06N 20/00 (2019.01)

(56) 对比文件

CN 108989609 A, 2018.12.11

CN 112584250 A, 2021.03.30

US 2009142030 A1, 2009.06.04

审查员 黄碧云

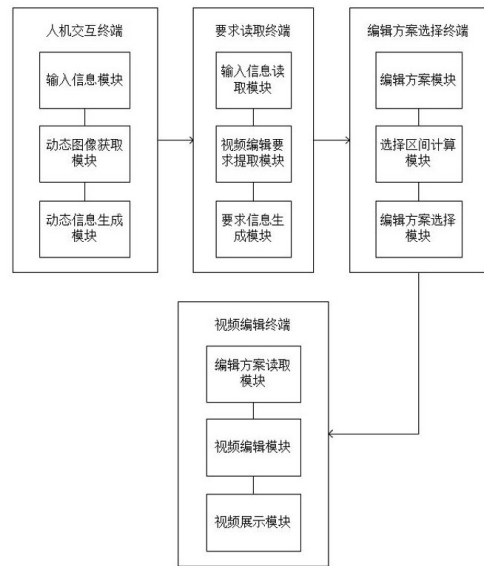
权利要求书2页 说明书6页 附图4页

(54) 发明名称

一种用于AIGC的人工智能视频编辑系统

(57) 摘要

本发明提供了一种用于AIGC的人工智能视频编辑系统,包括人机交互终端、要求读取终端、编辑方案选择终端和视频编辑终端;人机交互终端用于获取来自用户的输入信息和动态信息;要求读取终端用于根据输入信息提取视频编辑要求,生成对应的要求信息;编辑方案选择终端用于根据要求信息和动态信息选择对应的编辑方案;视频编辑终端用于根据编辑方案将用户上传的视频进行自动编辑;人机交互终端包括输入信息模块、动态图像获取模块和动态信息生成模块;输入信息模块用于获取来自用户的输入信息;动态图像获取模块用于获取用户的动态图像;动态信息生成模块用于根据用户的动态图像生成动态信息。本发明具有提高视频编辑效率的效果。



CN 116112745 B

1. 一种用于AIGC的人工智能视频编辑系统,其特征在于,包括人机交互终端、要求读取终端、编辑方案选择终端和视频编辑终端;

所述人机交互终端用于获取来自用户的输入信息和动态信息;所述要求读取终端用于根据输入信息提取视频编辑要求,生成对应的要求信息;所述编辑方案选择终端用于根据要求信息和动态信息选择对应的编辑方案;所述视频编辑终端用于根据编辑方案将用户上传的视频进行自动编辑;

所述人机交互终端包括输入信息模块、动态图像获取模块和动态信息生成模块;所述输入信息模块用于获取来自用户的输入信息;所述动态图像获取模块用于实时对用户进行动态图像识别,获取用户的动态图像;所述动态信息生成模块用于根据用户的动态图像生成动态信息;

所述要求读取终端包括输入信息读取模块、视频编辑要求提取模块和要求信息生成模块;所述输入信息读取模块用于读取所述输入信息模块的输入信息;所述视频编辑要求提取模块用于从输入信息中提取视频编辑要求;所述要求信息生成模块用于根据视频编辑要求生成对应的要求信息;

所述编辑方案选择终端包括编辑方案模块、选择区间计算模块和编辑方案选择模块;所述编辑方案模块用于存储全部编辑方案并将全部编辑方案按照不同的选择区间进行划分;每个所述选择区间对应唯一的区间值;所述选择区间计算模块用于根据要求信息和动态信息计算对应的区间选取指数并根据区间选取指数确认对应的选择区间;所述编辑方案选择模块用于从对应的选择区间中选取编辑方案;

所述视频编辑终端包括编辑方案读取模块、视频编辑模块和视频展示模块;所述编辑方案读取模块用于读取被选择的编辑方案;所述视频编辑模块用于根据对应的编辑方案对用户上传的视频进行视频编辑;所述视频展示模块用于将编辑完成的视频进行展示;

所述选择区间计算模块包括区间选取指数计算子模块和选择区间确认子模块;所述区间选取指数计算子模块用于根据要求信息和动态信息计算对应的区间选取指数;所述选择区间确认子模块用于根据区间选取指数确认对应的选择区间;

当所述选取指数计算子模块计算时,满足以下式子:

$$X = k_1 * N_1 + k_2 * N_2 + k_3 * \sum_{i=1}^{N_2} V_i + f(t) * k_4 * N_3;$$

$$f(t) = \begin{cases} -1, & t \geq T \\ 1, & t < T \end{cases};$$

其中, X 表示选取指数; N_1 表示要求信息中编辑要求种类数; N_2 表示用户上传的视频数量; V_i 表示用户上传的视频中第*i*个视频的编辑要求种类分值;所述编辑要求种类均对应唯一的种类分值,由管理员根据经验预先设定; N_3 表示根据动态信息识别的用户年龄; k_1 至 k_4 表示不同的指数权重系数,均由管理员根据经验设定; $f(t)$ 表示基于用户输入信息录入时长的符号选择函数; t 表示动态信息中用户输入信息录入时长; T 表示时长阈值,由管理员根据经验设定;

当所述选择区间确认子模块工作时,满足以下式子:

$$Q(X) = \begin{cases} 1, & \sigma_0 \leq X < \sigma_1 \\ 2, & \sigma_1 \leq X < \sigma_2 \\ \vdots & \\ n, & \sigma_{n-1} \leq X < \sigma_n \end{cases};$$

其中, $Q(X)$ 表示选择区间确认函数; $[\sigma_0, \sigma_1)$ 表示选择区间中第一个选择区间的区间值; $[\sigma_1, \sigma_2)$ 表示选择区间中第二个选择区间的区间值; $[\sigma_{n-1}, \sigma_n)$ 表示选择区间中第 n 个选择区间的区间值; σ_0 至 σ_n 均由管理员根据经验设定;

所述视频展示模块包括倍速计算子模块、预览子模块和视频展示子模块; 所述倍速计算子模块用于根据用户的动态信息和编辑完成的视频时长计算编辑完成的视频对应的预览倍速; 所述预览子模块用于根据预览倍速展示编辑完成的视频的预览效果; 所述视频展示子模块用于对编辑完成的视频进行逐一展示;

当所述倍速计算子模块工作时, 满足以下式子:

$$S = \beta * \left(\frac{W(\tau)}{2} + \frac{P}{2} \right);$$

$$P = \begin{cases} 16, p \geq \lambda_1 \\ 8, \lambda_2 \leq p < \lambda_1 \\ 4, \lambda_3 \leq p < \lambda_2; \\ 2, \lambda_4 \leq p < \lambda_3 \\ 1, \lambda_5 \leq p < \lambda_4 \end{cases};$$

$$W(\tau) = \begin{cases} 1, \tau \leq 10min \\ 2, 10min < \tau \leq 20min \\ 4, 20min < \tau \leq 60min; \\ 8, 60min < \tau \leq 160min \\ 16, \tau > 160min \end{cases};$$

其中, S 表示编辑完成的视频的预览倍速; $W(\tau)$ 表示基于对应视频的时长的预览倍速函数; τ 表示对应视频的视频时长; P 表示基于用户动态信息中用户在系统自动编辑视频期间的眨眼速率的预览倍速基准值; p 表示用户在系统自动编辑视频期间的平均眨眼速率; λ_1 至 λ_5 表示不同的判定阈值, 均由管理员根据经验设定; β 表示预览倍速调整系数, 由管理员根据经验设定。

2. 一种用于AIGC的人工智能视频编辑方法, 应用于如权利要求1所述的一种用于AIGC的人工智能视频编辑系统, 其特征在于, 所述人工智能视频编辑方法包括:

- S1, 获取来自用户的输入信息和动态信息;
- S2, 根据输入信息提取视频编辑要求, 生成对应的要求信息;
- S3, 根据要求信息和动态信息选择对应的编辑方案;
- S4, 根据编辑方案将用户上传的视频进行自动编辑。

一种用于AIGC的人工智能视频编辑系统

技术领域

[0001] 本发明涉及AIGC系统的技术领域,具体涉及一种用于AIGC的人工智能视频编辑系统。

背景技术

[0002] AIGC是指利用人工智能技术进行生成内容,AIGC也被认为是新型内容生产方式,AI绘画、AI写作等都属于AIGC的分支。视频编辑系统是用于编辑、剪辑和处理视频素材的工具系统,从而制作出符合特定需求和目的的视频作品。视频编辑系统可以被用于制作电影、电视节目、广告、音乐视频、纪录片、教育视频等不同类型的视频作品。

[0003] 视频编辑系统通常包含一个向用户展示视频的界面,用户可以在其中导入视频素材、音频素材、图像素材等,并将它们按照需要进行排列、剪辑、调整、修剪和处理。视频编辑系统还可以提供一些特效、转场、字幕、音效、色彩调整、稳定和修复视频素材等功能,以帮助用户制作出更加精美和专业的视频作品。

[0004] 现在已经开发出了很多视频编辑系统,经过我们大量的检索与参考,发现现有技术的视频编辑系统有如公开号为CN1412769A、CN1112331A、EP2406949A1、US20120014672A1、JP5908435B2所公开的视频编辑系统,这些视频编辑系统一般包括:操作界面终端和视频处理终端;操作界面终端用于实现人机交互,以便于用户上传视频、进行编辑操作和查阅编辑完成的视频;视频处理终端用于根据用户的编辑操作对用户上传的视频进行对应的编辑处理。由于上述视频编辑系统在处理较多的视频时,处理方式单一而且需要花费较长的时间,造成了视频编辑效率较低的缺陷。

发明内容

[0005] 本发明的目的在于,针对上述视频编辑系统存在的不足,提出一种用于AIGC的人工智能视频编辑系统。

[0006] 本发明采用如下技术方案:

[0007] 一种用于AIGC的人工智能视频编辑系统,包括人机交互终端、要求读取终端、编辑方案选择终端和视频编辑终端;

[0008] 所述人机交互终端用于获取来自用户的输入信息和动态信息;所述要求读取终端用于根据输入信息提取视频编辑要求,生成对应的要求信息;所述编辑方案选择终端用于根据要求信息和动态信息选择对应的编辑方案;所述视频编辑终端用于根据编辑方案将用户上传的视频进行自动编辑;

[0009] 所述人机交互终端包括输入信息模块、动态图像获取模块和动态信息生成模块;所述输入信息模块用于获取来自用户的输入信息;所述动态图像获取模块用于实时对用户进行动态图像识别,获取用户的动态图像;所述动态信息生成模块用于根据用户的动态图像生成动态信息。

[0010] 可选的,所述要求读取终端包括输入信息读取模块、视频编辑要求提取模块和要

求信息生成模块;所述输入信息读取模块用于读取所述输入信息模块的输入信息;所述视频编辑要求提取模块用于从输入信息中提取视频编辑要求;所述要求信息生成模块用于根据视频编辑要求生成对应的要求信息。

[0011] 可选的,所述编辑方案选择终端包括编辑方案模块、选择区间计算模块和编辑方案选择模块;所述编辑方案模块用于存储全部编辑方案并将全部编辑方案按照不同的选择区间进行划分;每个所述选择区间对应唯一的区间值;所述选择区间计算模块用于根据要求信息和动态信息计算对应的区间选取指数并根据区间选取指数确认对应的选择区间;所述编辑方案选择模块用于从对应的选择区间中选取编辑方案。

[0012] 可选的,所述视频编辑终端包括编辑方案读取模块、视频编辑模块和视频展示模块;所述编辑方案读取模块用于读取被选择的编辑方案;所述视频编辑模块用于根据对应的编辑方案对用户上传的视频进行视频编辑;所述视频展示模块用于将编辑完成的视频进行展示。

[0013] 可选的,所述选择区间计算模块包括区间选取指数计算子模块和选择区间确认子模块;所述区间选取指数计算子模块用于根据要求信息和动态信息计算对应的区间选取指数;所述选择区间确认子模块用于根据区间选取指数确认对应的选择区间;

[0014] 当所述选取指数计算子模块计算时,满足以下式子:

$$[0015] \quad X = k_1 * N_1 + k_2 * N_2 + k_3 * \sum_{i=1}^{N_2} V_i + f(t) * k_4 * N_3;$$

$$[0016] \quad f(t) = \begin{cases} -1, & t \geq T \\ 1, & t < T \end{cases};$$

[0017] 其中, X 表示选取指数; N_1 表示要求信息中编辑要求种类数; N_2 表示用户上传的视频数量; V_i 表示用户上传的视频中第*i*个视频的编辑要求种类分值;所述编辑要求种类均对应唯一的种类分值,由管理员根据经验预先设定; N_3 表示根据动态信息识别的用户年龄; k_1 至 k_4 表示不同的指数权重系数,均由管理员根据经验设定; $f(t)$ 表示基于用户输入信息录入时长的符号选择函数; t 表示动态信息中用户输入信息录入时长; T 表示时长阈值,由管理员根据经验设定;

[0018] 当所述选择区间确认子模块工作时,满足以下式子:

$$[0019] \quad Q(X) = \begin{cases} 1, & \sigma_0 \leq X < \sigma_1 \\ 2, & \sigma_1 \leq X < \sigma_2 \\ \vdots \\ n, & \sigma_{n-1} \leq X < \sigma_n \end{cases};$$

[0020] 其中, $Q(X)$ 表示选择区间确认函数; $[\sigma_0, \sigma_1)$ 表示选择区间中第一个选择区间的区间值; $[\sigma_1, \sigma_2)$ 表示选择区间中第二个选择区间的区间值; $[\sigma_{n-1}, \sigma_n)$ 表示选择区间中第*n*个选择区间的区间值; σ_0 至 σ_n 均由管理员根据经验设定。

[0021] 可选的,所述视频展示模块包括倍速计算子模块、预览子模块和视频展示子模块;所述倍速计算子模块用于根据用户的动态信息和编辑完成的视频时长计算编辑完成的视频对应的预览倍速;所述预览子模块用于根据预览倍速展示编辑完成的视频的预览效果;所述视频展示子模块用于对编辑完成的视频进行逐一展示;

[0022] 当所述倍速计算子模块工作时,满足以下式子:

$$[0023] \quad S = \beta * \left(\frac{W(\tau)}{2} + \frac{P}{2} \right);$$

$$[0024] \quad P = \begin{cases} 16, p \geq \lambda_1 \\ 8, \lambda_2 \leq p < \lambda_1 \\ 4, \lambda_3 \leq p < \lambda_2; \\ 2, \lambda_4 \leq p < \lambda_3 \\ 1, \lambda_5 \leq p < \lambda_4 \end{cases}$$

$$[0025] \quad W(\tau) = \begin{cases} 1, \tau \leq 10min \\ 2, 10min < \tau \leq 20min \\ 4, 20min < \tau \leq 60min; \\ 8, 60min < \tau \leq 160min \\ 16, \tau > 160min \end{cases}$$

[0026] 其中, S 表示编辑完成的视频的预览倍速; $W(\tau)$ 表示基于对应视频的时长的预览倍速函数; τ 表示对应视频的视频时长; P 表示基于用户动态信息中用户在系统自动编辑视频期间的眨眼速率的预览倍速基准值; p 表示用户在系统自动编辑视频期间的平均眨眼速率; λ_1 至 λ_5 表示不同的判定阈值,均由管理员根据经验设定; β 表示预览倍速调整系数,由管理员根据经验设定。

[0027] 一种用于AIGC的人工智能视频编辑方法,应用于如上述的一种用于AIGC的人工智能视频编辑系统,所述人工智能视频编辑方法包括:

[0028] S1,获取来自用户的输入信息和动态信息;

[0029] S2,根据输入信息提取视频编辑要求,生成对应的要求信息;

[0030] S3,根据要求信息和动态信息选择对应的编辑方案;

[0031] S4,根据编辑方案将用户上传的视频进行自动编辑。

[0032] 本发明所取得的有益效果是:

[0033] 1、人机交互终端、要求读取终端、编辑方案选择终端和视频编辑终端的设置有利于快捷高效地根据用户上传的视频自动选择编辑方案,通过视频编辑终端进行自动编辑,进而有利于连续工作并缩短视频编辑时间,从而提高了视频编辑效率;

[0034] 2、输入信息模块、动态图像获取模块和动态信息生成模块的设置有利于更快捷、更准确地完成人机交互,从而提高视频编辑效率;

[0035] 3、输入信息读取模块、视频编辑要求提取模块和要求信息生成模块的设置有利于进一步提高人机交互的效率,得到准确的视频编辑要求,以便于快速且准确地生成要求信息,提高了编辑方案选择的速度,从而有利于提高视频编辑效率;

[0036] 4、编辑方案读取模块、视频编辑模块和视频展示模块的设置有利于系统快速地自动编辑视频,也便于向用户快速地展示,从而有利于提高视频编辑效率;

[0037] 5、区间选取指数计算子模块和选择区间确认子模块的设置配合选取指数计算算法以及选择区间确认函数,有利于提高编辑方案选取过程的准确性和速度,从而提高视频编辑效率;

[0038] 6、倍速计算子模块、预览子模块和视频展示子模块的设置配合预览倍速计算算法,有利于快速准确地调整视频展示的预览倍速,以便于用户快速地预览,从而提高了视频编辑效率;

[0039] 7、展示模式切换指数计算单元、展示模式单元和视频展示单元的设置配合模式切换指数算法,有利于进一步优化展示过程,使得用户的预览过程更加舒适,预览时长更短,从而提高了视频编辑效率。

[0040] 为使能更进一步了解本发明的特征及技术内容,请参阅以下有关本发明的详细说明与附图,然而所提供的附图仅用于提供参考与说明,并非用来对本发明加以限制。

附图说明

[0041] 图1为本发明的连接结构示意框图;

[0042] 图2为本发明的整体结构示意图;

[0043] 图3为本发明中一种用于AIGC的人工智能视频编辑方法的方法流程示意图;

[0044] 图4为本发明中视频展示子模块的整体结构示意图;

[0045] 附图标记说明:

[0046] 1、人机交互终端;11、输入信息模块;12、动态图像获取模块;13、动态信息生成模块;2、要求读取终端;3、编辑方案选择终端;4、视频编辑终端。

具体实施方式

[0047] 以下是通过特定的具体实施例来说明本发明的实施方式,本领域技术人员可由本说明书所公开的内容了解本发明的优点与效果。本发明可通过其他不同的具体实施例加以施行或应用,本说明书中的各项细节也可基于不同观点与应用,在不背离本发明的精神下进行各种修饰与变更。另外,本发明的附图仅为简单示意说明,并非依实际尺寸描绘,事先声明。以下实施方式将进一步详细说明本发明的相关技术内容,但所公开的内容并非用以限制本发明的保护范围。

[0048] 实施例一:本实施例提供了一种用于AIGC的人工智能视频编辑系统。结合图1和图2所示,一种用于AIGC的人工智能视频编辑系统,包括人机交互终端1、要求读取终端2、编辑方案选择终端3和视频编辑终端4;

[0049] 所述人机交互终端1用于获取来自用户的输入信息和动态信息;所述要求读取终端2用于根据输入信息提取视频编辑要求,生成对应的要求信息;所述编辑方案选择终端3用于根据要求信息和动态信息选择对应的编辑方案;所述视频编辑终端4用于根据编辑方案将用户上传的视频进行自动编辑;

[0050] 所述人机交互终端1包括输入信息模块11、动态图像获取模块12和动态信息生成模块13;所述输入信息模块11用于获取来自用户的输入信息;所述动态图像获取模块12用于实时对用户进行动态图像识别,获取用户的动态图像;所述动态信息生成模块13用于根据用户的动态图像生成动态信息。

[0051] 可选的,所述要求读取终端2包括输入信息读取模块、视频编辑要求提取模块和要求信息生成模块;所述输入信息读取模块用于读取所述输入信息模块的输入信息;所述视频编辑要求提取模块用于从输入信息中提取视频编辑要求;所述要求信息生成模块用于根据视频编辑要求生成对应的要求信息。

[0052] 可选的,所述编辑方案选择终端3包括编辑方案模块、选择区间计算模块和编辑方案选择模块;所述编辑方案模块用于存储全部编辑方案并将全部编辑方案按照不同的选择区间进行划分;每个所述选择区间对应唯一的区间值;所述选择区间计算模块用于根据要求信息和动态信息计算对应的区间选取指数并根据区间选取指数确认对应的选择区间;所述编辑方案选择模块用于从对应的选择区间中选取编辑方案。

[0053] 可选的,所述视频编辑终端4包括编辑方案读取模块、视频编辑模块和视频展示模块;所述编辑方案读取模块用于读取被选择的编辑方案;所述视频编辑模块用于根据对应的编辑方案对用户上传的视频进行视频编辑;所述视频展示模块用于将编辑完成的视频进行展示。

[0054] 可选的,所述选择区间计算模块包括区间选取指数计算子模块和选择区间确认子模块;所述区间选取指数计算子模块用于根据要求信息和动态信息计算对应的区间选取指数;所述选择区间确认子模块用于根据区间选取指数确认对应的选择区间;

[0055] 当所述选取指数计算子模块计算时,满足以下式子:

$$[0056] \quad X = k_1 * N_1 + k_2 * N_2 + k_3 * \sum_{i=1}^{N_2} V_i + f(t) * k_4 * N_3;$$

$$[0057] \quad f(t) = \begin{cases} -1, & t \geq T \\ 1, & t < T \end{cases};$$

[0058] 其中, X 表示选取指数; N_1 表示要求信息中编辑要求种类数; N_2 表示用户上传的视频数量; V_i 表示用户上传的视频中第*i*个视频的编辑要求种类分值;所述编辑要求种类均对应唯一的种类分值,由管理员根据经验预先设定。在本实施例中编辑要求种类可以是但不限于:画面大小裁剪、视频片段裁切、画质增强优化和多类型编辑等。以画面大小裁剪、视频片段裁切、画质增强优化和多类型编辑举例说明种类分值,画面大小裁剪的种类分值为1,视频片段裁切的种类分值为2,画质增强优化的种类分值为3,多类型编辑的种类分值为10。

[0059] N_3 表示根据动态信息识别的用户年龄; k_1 至 k_4 表示不同的指数权重系数,均由管理员根据经验设定; $f(t)$ 表示基于用户输入信息录入时长的符号选择函数; t 表示动态信息中用户输入信息录入时长; T 表示时长阈值,由管理员根据经验设定;

[0060] 当所述选择区间确认子模块工作时,满足以下式子:

$$[0061] \quad Q(X) = \begin{cases} 1, & \sigma_0 \leq X < \sigma_1 \\ 2, & \sigma_1 \leq X < \sigma_2 \\ \vdots \\ n, & \sigma_{n-1} \leq X < \sigma_n \end{cases};$$

[0062] 其中, $Q(X)$ 表示选择区间确认函数; $[\sigma_0, \sigma_1)$ 表示选择区间中第一个选择区间的区间值; $[\sigma_1, \sigma_2)$ 表示选择区间中第二个选择区间的区间值; $[\sigma_{n-1}, \sigma_n)$ 表示选择区间中第*n*个选择区间的区间值; σ_0 至 σ_n 均由管理员根据经验设定。

[0063] 可选的,所述视频展示模块包括倍速计算子模块、预览子模块和视频展示子模块;所述倍速计算子模块用于根据用户的动态信息和编辑完成的视频时长计算编辑完成的视频对应的预览倍速;所述预览子模块用于根据预览倍速展示编辑完成的视频的预览效果;所述视频展示子模块用于对编辑完成的视频进行逐一展示;

[0064] 当所述倍速计算子模块工作时,满足以下式子:

$$[0065] \quad S = \beta * \left(\frac{W(\tau)}{2} + \frac{P}{2} \right);$$

$$[0066] \quad P = \begin{cases} 16, & p \geq \lambda_1 \\ 8, & \lambda_2 \leq p < \lambda_1 \\ 4, & \lambda_3 \leq p < \lambda_2 \\ 2, & \lambda_4 \leq p < \lambda_3 \\ 1, & \lambda_5 \leq p < \lambda_4 \end{cases};$$

$$[0067] \quad W(\tau) = \begin{cases} 1, \tau \leq 10min \\ 2, 10min < \tau \leq 20min \\ 4, 20min < \tau \leq 60min ; \\ 8, 60min < \tau \leq 160min \\ 16, \tau > 160min \end{cases}$$

[0068] 其中, S 表示编辑完成的视频的预览倍速; $W(\tau)$ 表示基于对应视频的时长的预览倍速函数; τ 表示对应视频的视频时长; P 表示基于用户动态信息中用户在系统自动编辑视频期间的眨眼速率的预览倍速基准值; p 表示用户在系统自动编辑视频期间的平均眨眼速率; λ_1 至 λ_5 表示不同的判定阈值,均由管理员根据经验设定; β 表示预览倍速调整系数,由管理员根据经验设定。

[0069] 一种用于AIGC的人工智能视频编辑方法,应用于如上述的一种用于AIGC的人工智能视频编辑系统,结合图3所示,所述人工智能视频编辑方法包括:

[0070] S1,获取来自用户的输入信息和动态信息;

[0071] S2,根据输入信息提取视频编辑要求,生成对应的要求信息;

[0072] S3,根据要求信息和动态信息选择对应的编辑方案;

[0073] S4,根据编辑方案将用户上传的视频进行自动编辑。

[0074] 实施例二:本实施例包含了实施例一的全部内容,提供了一种用于AIGC的人工智能视频编辑系统,结合图4所示,所述视频展示子模块包括展示模式切换指数计算单元、展示模式单元和视频展示单元;所述展示模式切换指数计算单元用于根据用户动态信息和展示时长生成展示模式切换指数;所述展示模式单元用于根据展示模式切换指数切换展示模式;所述视频展示单元用于对编辑完成的视频进行逐一展示。

[0075] 当所述展示模式切换指数计算单元计算时,满足以下式子:

$$[0076] \quad R = \mu_1 * o^{\log_2 u} + \mu_2 * o;$$

[0077] 其中, R 表示展示模式切换指数; o 表示所述视频展示单元从开始展示到当前时刻的展示时长值; u 表示用户在视频展示期间的平均眨眼速率值,即平均每分钟的眨眼次数值; μ_1 和 μ_2 分别表示切换指数首项权重系数和次项权重系数,均由管理员根据经验设定。

[0078] 当展示模式切换指数 $R \geq r_{ref}$ 时,所述展示模式单元切换展示模式为护眼模式;所述护眼模式由管理员预先设定,模式中的调整内容可以是但不限于:亮度、对比度和色调等。当展示模式切换指数 $R < r_{ref}$ 时,所述展示模式单元切换展示模式为正常模式;所述正常模式由管理员预先设定。

[0079] 以上所公开的内容仅为本发明的优选可行实施例,并非因此局限本发明的保护范围,所以凡是运用本发明说明书及附图内容所做的等效技术变化,均包含于本发明的保护范围内,此外,随着技术发展其中的元素是可以更新的。

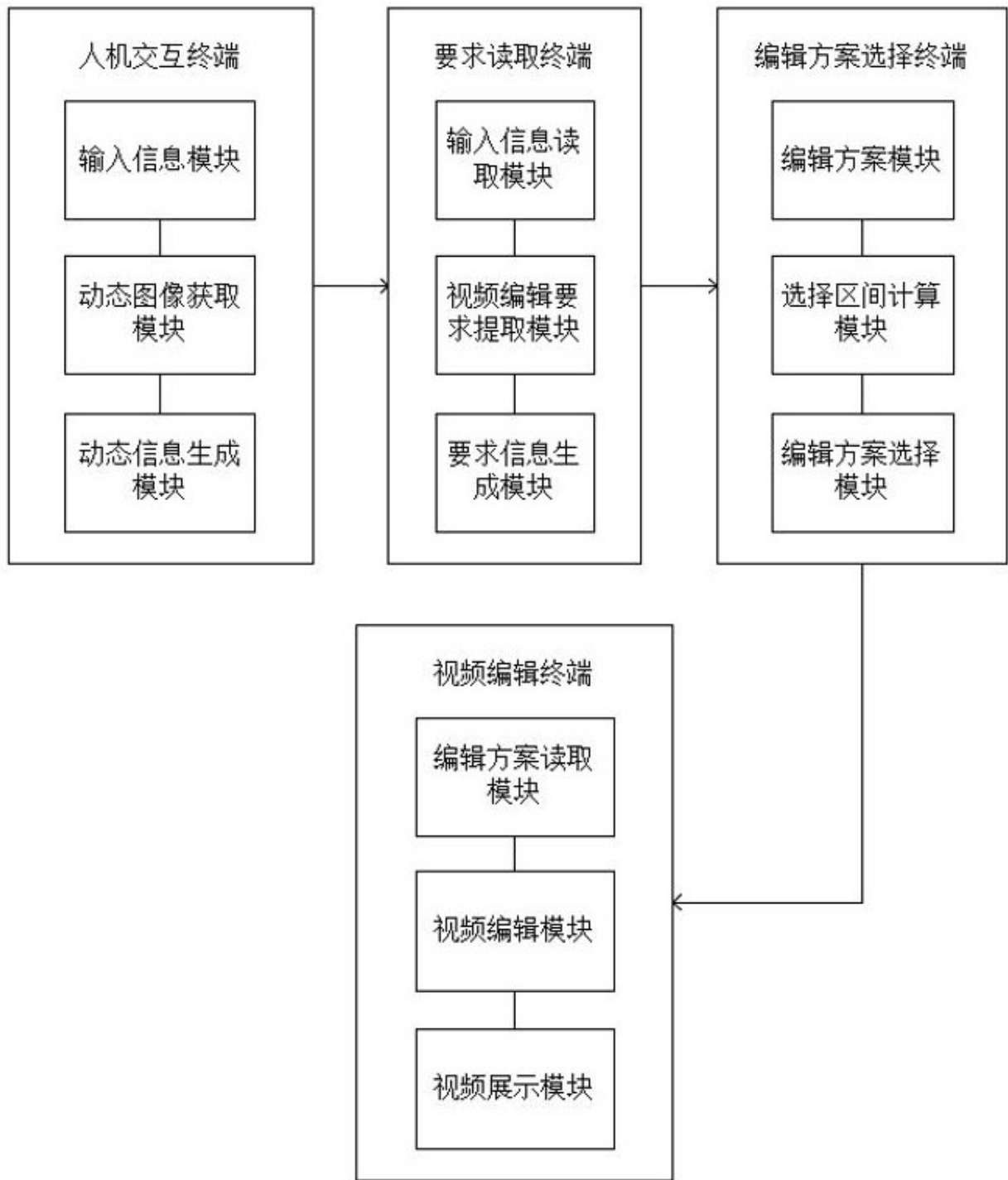


图 1

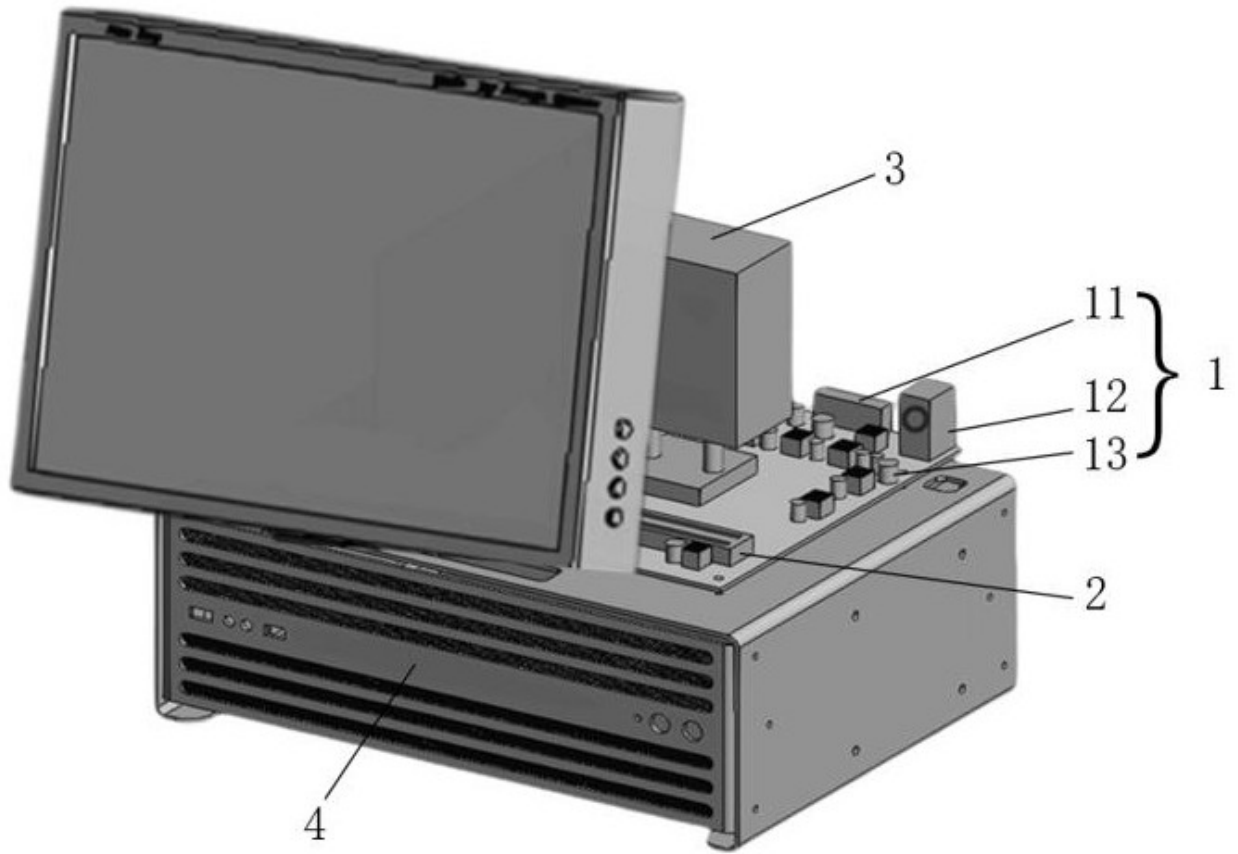


图 2

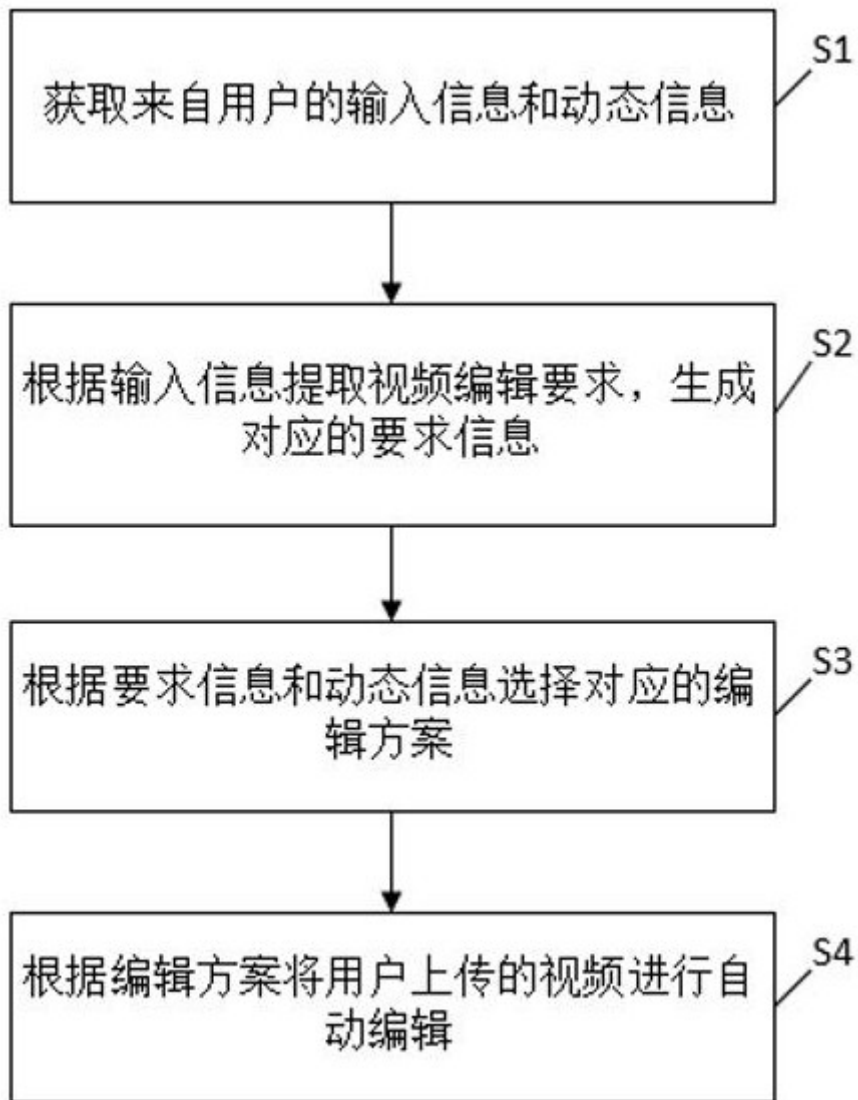


图 3

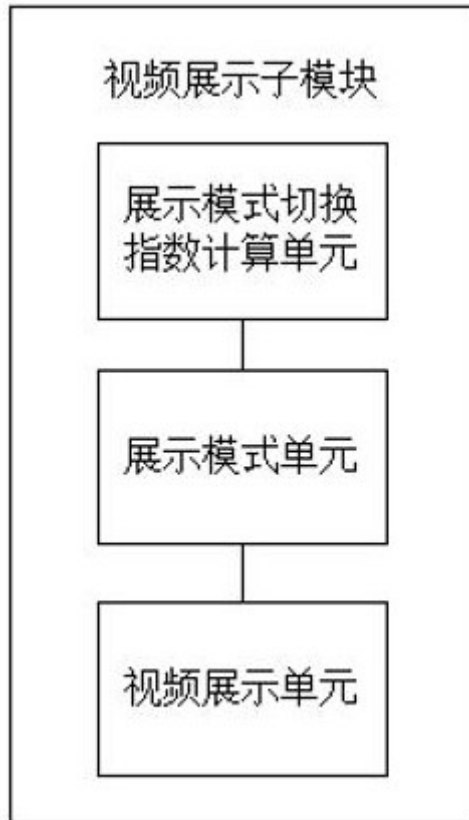


图 4